

神戸大学 正勇 魁 源亮  
 " 学生員 西田 真夫  
 " " 前田 強

レーザーを応用した流速計には、リフレクターレーザーを応用したもの、スペックルバターンを応用したもの、ドップラー効果を応用したもの、3種類が見受けられる。一般にレーザー流速計としてはドップラー効果を応用した、L.D.V.と略称されるものが多く、すでに市販されている。本文はこのL.D.V.の考察ならびに試作を行った結果について述べる。

L.D.V.は、光源、光路、トランステーサー、処理装置の4系統から成り立つ(お)，流体中の測定束、光センサー内を通じる微小粒子による散乱光のドップラーシフトされたものを検出することにより流速を求めるものである。

光路系として後述する Differential-Scatter-Mode を用いれば、トランステーサーとして一般に用いられる光電増倍管(P.M.)に入射する光波  $E_1$  ベクトルは

$$E_1 = E_0 + E_2 \quad (1)$$

となり、2方向からの散乱光が入射することになる。光電増倍管は2乗検出特性であるので、その出力電流  $I$  の平均値は、

$$\begin{aligned} I &= \mu |E_1|^2 \\ &= \mu [(|E_0|^2 + |E_2|^2) + (E_0 E_2^* + E_0^* E_2)] \end{aligned} \quad (2)$$

となり、(2)式の右辺第一項は直流成分、第二項は交流成分を示す。2、下、 $\mu$  は P.M. のプレート感度、サヌクス \* は共役復素数を示す。P.M. の周波数特性は  $10^9$  Hz 程度であるため、光そのもの、波は感知出来ず、ドップラー信号のみをなすおもて上式の

$$I_{AC} = \mu (E_0 E_2^* + E_0^* E_2) \quad (3)$$

をドップラー信号として検出する。光波ベクトル  $E_2$  が運動であるから(3)式を書きなほすと、

$$I_{AC} = E_0 \cos(f_d t - \phi) \quad (4)$$

となり、ドップラーシフトされた光生電流は変換出来る。2、下、 $E_0$  はレーザー出力、光路、光センサー等にて定まる量である。散乱光によるドップラ一周波数  $f_d$  は図-1を参照して、

$$f_d = -(K_o - K_s) \cdot V \quad (5)$$

で与えられ、光速が入射・散乱で変化しない。

$$f_d = \frac{2\pi M}{\lambda} \sin \frac{\theta}{2} \quad (6)$$

となり、流速  $V$  と  $f_d$  が比例関係にある。2、下入はレーザー光の波長、 $M$  は、

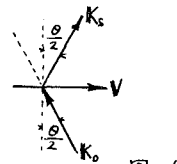


図-1

上記は单一の粒子からの散乱の場合の理想的な状態における実験であるが、実際には複数粒子はある測定体積  $V$  をもつ光センサー ( $V = \frac{\pi D_a^3}{65}$  m³;  $D_a$  は Airy Disk 直径) に不規則、不連続に流入出するのであるが、各々の粒子による散乱光は、センサーに流入した時定まる位相が異なるため、散乱光全体としての位相は不規則に変化し、これが、ドップラ一周波数の見かけ上りゆうきとなる。測定される。すなはち(4)式は、

$$I_{AC} = \sum_m E_{0m} \exp \left\{ \frac{\Delta f_d}{\lambda} (t - t_m)^2 \right\} \cos \left\{ f_d (t - t_m) + \phi_m \right\} \quad (7)$$

となる。(7)式は時間  $t_m$  に  $m$ 番目の粒子が  $E_{0m}$  のパワーで散乱することを示す。左側の  $\Delta f_d$  は上に述べたことによる不確定な周波数の振れのパンド幅である。一般に  $f_d = f_d(\lambda, V, \theta)$  であることが、

$$\Delta f_d = \frac{\partial f_d}{\partial \lambda} \Delta \lambda + \frac{\partial f_d}{\partial V} \Delta V + \frac{\partial f_d}{\partial \theta} \Delta \theta \quad (8)$$

のトータル一周波数の広がりが存在する。第一項はレーザー自身のベクトル中で数 $H_0$ ある $\sim 10^3$ Hzの値をもつ。流体の流速が低い場合は、この周波数変動は問題であるが、高流速では問題となる。第二項は、流速変動によるベクトル中であり、流速勾配と非定常性は関係する。第三項はレンズの収束角による影響であり、また光路交又角とも関係する。乱流を測定する場合、乱流による $\Delta f_b$ と、この不確定性による $\Delta f_b$ との区別はつかない。さらに、乱流微細構造を問題とする場合光セシサーの大きさを乱流のマイクロスケールより小さくしなければならぬが、この場合、不確定性が増す。その他の難点に対しては、処理装置に適当な通過ろ過器を組み込んで計測系の雑音を除去する方法が取られていく。

### 試作器

試作したL.D.V.の概要是次ぎの通りである。

光源： He-Ne レーザー，  $\lambda = 0.6328\mu\text{m}$  T.E.M<sub>00</sub>モード（ガス分布、後で(4)のE<sub>0</sub>はガス分布と見る必要がある）、出力 2.5mW 安定化電源使用

光路： Differential-Reference 復合型

トランジスターサー： 光電増倍管 (1850~8200Å) (ダイオード、プレート別電源使用)

処理装置： 3波器-前置増幅器-広帯域増幅器-振幅制限器-微分回路-周波数計  
↓可変狭帯域 ↓ ↓ 周波数分析器-電圧計

L.D.V.で用いられる光路系は、図-1に示す。これらには、(1) Reference-Scatter-Mode, (2) Differential-Scatter-Mode, (3) Dual-Scatter-Mode, (4) Back-Scatter-Mode の4方式がある。Reference-型は初期のL.D.V.によく用いられており、3次元速度成分の測定がようやく出来るが、測定結果は可視するところが遠く、この点、Differential型は可視出来るが、同時に2成分の流速測定は出来ない。一方、Back-Scatter型は大出力の光源を必要とするため一般的でない。2. 下では簡単な他のModeの光路に變えることか出来るといふ利点と、それ以上に光路系の設定・調整が最も容易であるといふ理由で、ReferenceとDifferential型を複合したもののが光路系に用いられる。レーザーからの光束を2分するのはハーフミラーを用いているが、その他プリズム等を用いることによつても得られ、又スペクタクルスリーパーによりレーザービームを拡げてレンズ前面の2ヶのビームホールにより2光束を得ることも出来る。後者の方法は光量は落ちるが、良い方法である。

処理装置は、(6)式より  $\theta = 20^\circ$  とするとき  $f_b(\text{kHz}) = 7.36 V(\%)$  となり、今流速が  $0 \sim 1\text{m/s}$  まで変化すれば  $f_b$  は  $0 \sim 736\text{kHz}$  まで変化することになり、これをカバーするモード有ればならない。单一の広帯域増幅器ではこの範囲の周波数をカバーすることは困難である。通常用いられているのは、ヘテロダイーン混合を行つて狭帯域フィルターを通して、復調器からの出力電圧を電圧制限器-振幅回路(V.C.O.)にフィードバックさせて、ヘテロダイーンの発振周波数を変化させ、常に混ぜられた信号が狭帯域フィルターの中心周波数をはずれないように自動制御を行つている。

しかしながらこの回路ではドロップアウトの現象を生じ、セシサーを覆ふよな粒子が通過するごとに出力は零周波数になりV.C.O.がはずれてしまう。もっともこれを補償出来るよう工夫したものも存在する。試作を行つたのは、周波数領域を  $0 \sim 200\text{kHz}$ ,  $200 \sim 600\text{kHz}$  に分離し前者を広帯域増幅器、後者を可変狭帯域増幅器とした。指示方法は周波数計で平均流速を、復調器出力電圧で乱流を得られるようにしたが、乱流測定は慎重に行う必要があり、得られた結果を直ちに可視化するには問題がある。L.D.V.は速度-周波数変換であり、周波数は負値はなく、正の方向は判別出来ない。流向の判別を行つたため二三試行したが、これにつれては発表時に述べる。

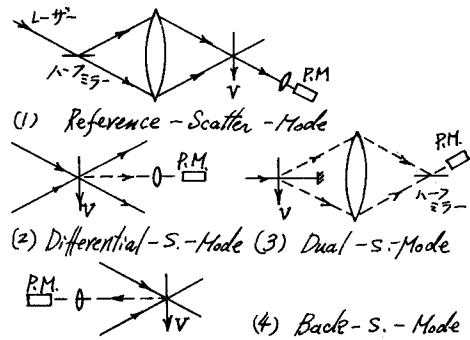


図-1